

京都大学防災研究所 正会員 河田 恵昭  
 京都大学防災研究所 正会員 土屋 義人  
 (株)住友金属工業 正会員 林 省造

1. 緒言 Kennedy ら従来数多く發表されていき、流れによる砂面の不安定性理論では、流れをポテンシャル流れあるいはせん断流とするいずれの取扱いにありても、流砂量の非平衡性を表示するための附加的仮定を導入する必要があり、これが解析結果に対する物理的解釈の種々の困難をもたらしていきといえよう。ここでは、この基本的欠点をなくすため、すでに著者らが説明した砂粒の saltation に基づく飛砂・流砂の基礎方程式から直接得られる砂面変動の基礎方程式の数値解と擬似定常近似による解析解を用いて、飛砂・流砂による砂面形態の領域区分を試み、従来の実験および観測結果と比較検討した結果を報告する。

## 2. 砂面の不安定性と砂れんの発生限界の理論

2-1. 砂面変動の基礎方程式の説明 著者らは、砂粒と流体を含む2相流に運動量保存則を適用して求めた飛砂・流砂の基礎方程式と流速分布の対数則に擾動法を用いて、砂面擾乱  $\bar{z}$  に関する4階様形偏微分方程式をすでに説明した。すなわち、 $h_0$ : 水深、 $U_0$ : 平均流速、 $d$ : 砂粒の粒径、 $U_*$ : 摩擦速度、 $\rho_0$  および  $\rho$ : それそれ砂粒と流体の密度とし、 $h_0$  および  $U_0$  を基準量として無次元量  $\bar{z} = z/h_0$ ,  $\bar{t} = (U_0/h_0)t$ ,  $\bar{x} = x/h_0$  を定義すれば、それは次式で表わされる。 $\sum_{i=0}^3 m_i \partial^i \bar{z} / \partial \bar{t}^{i-1} \bar{x} + \sum_{j=0}^5 m_j \partial^j \bar{z} / \partial \bar{t}^{j-1} \bar{x} + \sum_{k=0}^9 m_k \partial^k \bar{z} / \partial \bar{t}^{k-1} \bar{x} = 0$  ----- (1)

ここで、 $m_0 = 1$  および  $m_1 \sim m_9$  は、すべて相対水深  $h_0/d$  と無次元掃流力  $I_0 = U_*^2/(g/d)$  の関数として表わされ、添字 0 は等流状態を示す。そして、砂面擾乱  $\bar{z}$  が、複素波速  $\bar{C}$  と無次元波数  $K$  によつて、 $\bar{z} = \bar{Z}_0 \exp\{ik(\bar{x} - \bar{C}\bar{t})\}$  によって表わされると考えると、砂面変動の基礎方程式は結局つぎのようになる。 $\bar{C}^4 + (-m_1 + im_2/K) \bar{C}^3 + \{(m_2 - m_3/K^2) - im_4/K\} \bar{C}^2 + \{(m_3 + m_4/K) + im_5/K\} \bar{C} + m_4 - im_6/K = 0$  ----- (2) ここで、 $\bar{C} = C/U_0$ ,  $K = 2\pi h_0/L$  および  $L$ : 砂面擾乱の波長である。さて、流れと砂粒の運動の時間的変化が緩慢であり、非定常項を無視できることはすれば、式(2)の解析解はつぎのように表わされる。 $\bar{C} = [-K\{(B_1 - B_3\} - B_5 X_1\} - i\{(B_2 - B_4) - B_5 X_2\}] / \{-B_6 K X_1 + B_7 X_2 + i(B_6 X_2 + B_7 X_1)\}$  ----- (3) ここで、 $B_1 = A_2 A_3 A_4 \bar{Z}_{00} \sqrt{I_0}/F_{r0}$ ,  $B_2 = (-\bar{Z}_0/K)(h_0/d)/A_2 A_3 A_4 \bar{Z}_{00}/U_{mo}(g/d - 1) + 2(g/d)$ ,  $B_3 = -2.5(\bar{Z}_0/K)B_1 + B_5$ ,  $B_4 = -2.5(\bar{Z}_0/K)B_2$ ,  $B_5 = \bar{Z}_{00}/(F_{r0} I_0 U_{mo})$ ,  $B_6 = F_{r0}^2 B_5$ ,  $B_7 = A_3 B_5$ ,  $X_1 = \bar{Z}_{00}^2 - 1$ ,  $X_2 = I(3 + 5\bar{Z}_0/K)$ ,  $F_{r0} = U_0/\sqrt{gh_0}$ ,  $A_2 = 4(1-e)/3\bar{C} C_0 A_r^2 I_0^2$ ,  $A_3 = \cot \beta_m (1/e - 1) g/d - 1/2(g/d + 1/2)$ ,  $C_0 = \sqrt{1 + 8/(3(1-e)) C_0 A_r^2 I_0^2}$ ,  $A_r$ : 完全粗面乱流の場合約 8.5 となる定数,  $I$ : 砂面勾配,  $e$ : 砂粒の反発係数,  $\beta_m$ : 砂粒の平均飛び出し角度,  $C_0$ : 砂粒の抵抗係数および  $\bar{Z}_0$ : 跳躍砂粒の飛高と飛距離との比を定義される定数であり、また無次元流砂量  $\bar{q}_{so}$  と砂粒の平均流下速度  $\bar{U}_{mo}$  は、著者らの砂粒の saltation 機構に関するこれまでの研究成果から、流砂では全運動砂粒が近似的に定常跳躍するとして、それとれつぎのように表わされる。 $\bar{q}_{so} = \bar{Z}_{00} / (U_{mo} d) = e/(1-e) (\tan \beta_m) / [1 + (1/2)(g/d)] / [1 + e - (1-e) C_0 / (I_0 - I_{cr})]$ ,  $\bar{U}_{mo} = (U_{mo} / U_{so}) = (A_r / 2) / [1 + e - (1-e) C_0 / I]$  ----- (4) 一方、飛砂ではすべての運動砂粒が必ずしも定常跳躍していなければならぬので、砂粒の運動の配分則を考慮して、無次元飛砂量と砂粒の平均移動速度を与えていき。<sup>2)</sup>

2-2. 飛砂への適用 流砂現象は河床と水面に限定された領域に限られるのに対し、飛砂では風速の増大に伴なつて、砂粒の運動領域は次第に大きくなり、事実上無限大になると考へられる。したがつて、2-1. で示した理論を飛砂の場合に適用するにあたつて、流砂の場合の水深に対応するものとして飛砂の場合をどうかは非常に重要な問題であろう。いま、飛砂の場合の特性量として、乱流境界層厚と掃流砂粒の運動層厚(ハーキュラ saltation 層厚)とが考へられるが、風洞実験において乱流境界層がほぼ完全に発達した状態において、風速をさらに大きくすると砂面形態が変化するという事實と saltation を行つていき砂粒が ripples の発達に大きく寄与していきと Bagnold の観察結果から、ここでは後者を水深に対応するものとする。そして、この

Salivation 層厚が砂面と固定床との衝突によって定常跳躍する砂粒の平均飛高  $H_{\text{m}}(=H_{\text{m}}/d) = (y_B)(\sigma/g + y_2/2)$  と  $A^{1/2} \cdot l + c - (1-e)C_s f^{1/2} \cdot 2^{\alpha}$  とすると、摩擦速度および Froude 数を新しくつきのように定義する。  $U_K = \sqrt{g H_{\text{m}} I_p}$ ,  $F_r = U_K / \sqrt{g H_{\text{m}}}$  ここに、 $I_p$  は水流の場合の河床勾配に対応するものである。

### 3. 実験および観測結果との比較検討

### 3-1. 流砂による河床形態の領域区分

図-1は相当砂粒粗度  $k_s = 4d$  として式(3)を計算し、無次元波数  $k$  をパラメータとして図示したものである。計算に用いた反発係数などの値は、砂粒の saltation の実験結果から決定した。

たものである、 $Z_c = 0.63$ ,  $\tan\beta_m = 0.5774$  図-1 解析解による河床形態および $A^* = 0.4$ とし、かつ $\theta/\beta = 2.65$ ,  $C_0 = 0.4$  および $C_{\infty} = 0.05$  とした。この図から、 $K$  の増加に伴って anti-dunes および ripples & dunes の領域が拡大し、10以上になると $K$  に無関係にこれらの領域は一定になることがわかる。また、この図と $K_S$  を変化させた領域区分図との比較から、 $K_S$  が大きくなると  $h/d < 200$  では anti-dunes の領域が拡大し、 $h/d > 200$  では縮小する傾向が見られ、また ripples & dunes の領域はつなに狭くなることがわかった。図-2 は図-1 の場合と同じ条件で式(2)を数値計算したものである。数値計算の結果から、図中の  $h/d$  と  $C^*$  の範囲内では plane bed & transition の河床形態がつなに発生可能であったほか、第Ⅰ領域（上流あるいは下流方向へ伝播可能な anti-dunes の共存域）および第Ⅳ領域（下流方向に伝播する anti-dunes のみが発生可能）が新たに見出された。図-3 は式(2)および(3)による計算結果と従来の実験結果とを示したものであり、かなりよく領域区分されていことがある。

### 3-2. 猿石沙による砂面形態の領域区分

から得られた飛砂による砂面形態の領域区分図があり、計算に用いた定数は saltation の実験結果から、 $e_S = 0.91$ ,  $e_m = 0.44$ ,  $\tan \beta_m = 1.5$  および  $\lambda = 0.26$  とし、 $S/f = 2200$  および  $Z_{ex} = 0.01$  解によれば anti-dunes は発生せず、 $k > 1$  では砂れんの発生限界なく、それよりの  $k_S$  に対して一定になり、 $k_S$  が大きい程で  $0.3 \leq k_S \leq 1$  は  $k_S$  が小さい程砂れんの発生領域が広くなることがわかった。  $k_S$  と  $\alpha$ との関係は図-5に示され、 $\alpha$ の増加に伴なって  $k_S$  が前述した結果と接続していよう。図-4 から実験および観測結果が認められる。一方、式(2)による数値解は解析解の場合

図-1 解析解による河床形態の領域区分 図-2 数値解による河床形態の領域区分

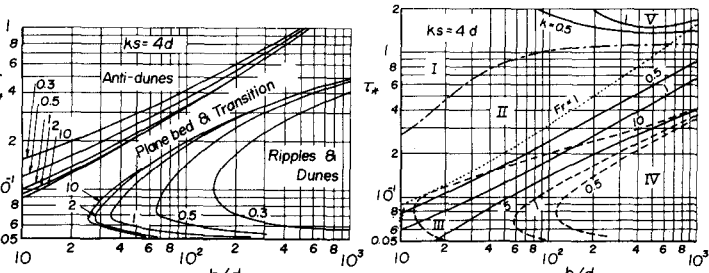


图-2 数值解上扬河床形態領域分布

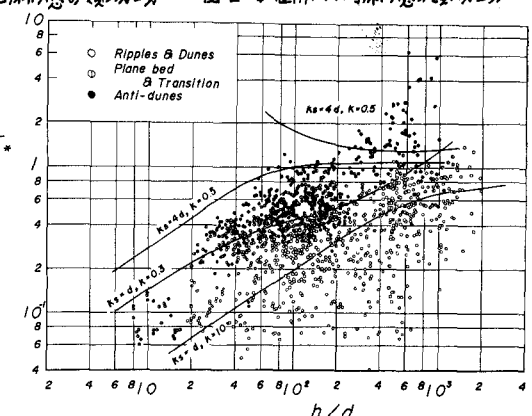


図-3 河床形態に関する計算結果と実験結果との比較

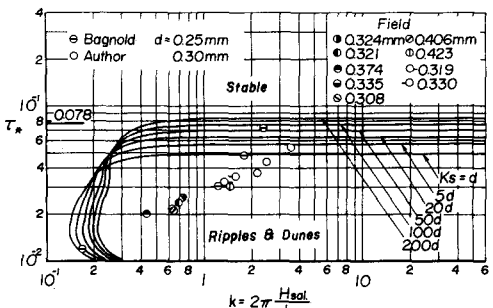
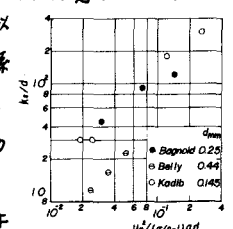


図-4 飛砂少による砂面形態の領域区分



### 图5 $T_{\text{c},\text{r}}(B)$ 的關係